

Ni/Fe 物质的量的比对 Ni-Fe 催化剂表面性质和二硝基甲苯加氢活性的影响

郝志强¹ 于智慧² 李忠^{*1}

(¹ 太原理工大学, 煤科学与技术教育部与山西省重点实验室, 太原 030024)

(² 赛鼎工程有限公司, 太原 030024)

摘要: 采用 Fe 粉置换氯化镍溶液中的 Ni²⁺制备了 Ni-Fe 催化剂, 并应用于催化二硝基甲苯加氢合成甲苯二胺的反应中。运用 XRD、低温氮吸附-脱附、H₂-TPD、XPS 和 TEM 等技术手段对不同 Ni/Fe 物质的量的比($n_{\text{Ni}}/n_{\text{Fe}}$)下催化剂进行了表征。结果表明, $n_{\text{Ni}}/n_{\text{Fe}}$ 对 Ni-Fe 催化剂表面性质影响显著。当 $n_{\text{Ni}}/n_{\text{Fe}}$ 为 1:4 时, Fe 抑制 Ni 氧化的作用达到最大,Ni-Fe 催化剂化学氢吸附量和活性物种 Ni 的分散度分别达到了 0.16 mmol·g⁻¹ 和 23%, 催化剂性能得到较大的提升。在优化的催化剂制备条件下,DNT(二硝基甲苯)的转化率和 TDA(甲苯二胺)的选择性分别达到了~100% 和 99%。另外, 对 Ni-Zn 漆原镍(Urushibara Ni)催化剂和 Ni-Fe 催化剂催化 DNT 加氢反应进程进行了研究,发现它们有相同的加氢中间产物,但反应不同阶段的催化速率存在差异。

关键词: Ni-Fe 催化剂; 二硝基甲苯; 甲苯二胺; 催化加氢

中图分类号: O643.3; O614.81 文献标识码:A 文章编号: 1001-4861(2015)08-1571-10

DOI: 10.11862/CJIC.2015.186

Influence of Ni/Fe Molar Ratio on Surface Properties of Ni-Fe Catalysts and Hydrogenation Performance of Dinitrotoluene

HAO Zhi-Qiang¹ YU Zhi-Hui² LI Zhong^{*1}

(¹Key Laboratory of Coal Science and Technology of Ministry of Education and Shanxi Province, Taiyuan University of Technology, Taiyuan 030024, China)

(²Sedin Engineering Company Limited, Taiyuan 030024, China)

Abstract: Ni-Fe catalysts were prepared via the replacement reaction of NiCl₂ by Fe and used for the selective hydrogenation of dinitrotoluene (DNT) in liquid phase. The influences of Ni/Fe molar ratio ($n_{\text{Ni}}/n_{\text{Fe}}$) on the surface properties and catalytic performance of Ni-Fe catalysts were investigated. The characterization results from XRD, Low temperature nitrogen adsorption -desorption, H₂-TPD, XPS and TEM show that $n_{\text{Ni}}/n_{\text{Fe}}$ has a significant effect on the surface properties of Ni-Fe catalysts. When $n_{\text{Ni}}/n_{\text{Fe}}$ is 1:4, the effect of Fe inhibition on the oxidation of nickel is more apparent, the chemical adsorption of hydrogen is 0.16 mmol·g⁻¹ and the dispersion of active species Ni achieves 23%. The performance of Ni-Fe catalysts is greatly improved. Under the optimized catalysts preparation conditions, the conversion of DNT (dinitrotoluene) and the selectivity of TDA (toluenediamine) could reach~100% and 99%, respectively. In addition, Ni-Zn Urushibara nickel catalysts and Ni-Fe catalysts have~the same catalytic hydrogenation-pathway but different catalytic reaction rate in a different reaction stages.

Key words: Ni-Fe catalyst; dinitrotoluene; toluediamine; catalytic hydrogenation

收稿日期: 2015-04-12。收修改稿日期: 2015-05-21。

国家“973”计划(No.2012CB723105)资助项目。

*通讯联系人。E-mail:lizhong@tyut.edu.cn; 会员登记号:S06N4167M1005。

二硝基甲苯(Dinitrotoluene,DNT)加氢合成甲苯二胺(Toluene Diamine,TDA)是二异氰酸酯(Toluene Diisocyanate,TDI)工业生产中的核心技术。目前采用的催化剂主要有Pd/C等贵金属催化剂和Ni基催化剂。其中,由于价格和分离等原因,Ni基催化剂的研究和开发越来越受到重视^[1,2]。

大量文献报道,Ni与Fe相互作用能够形成Ni-Fe双金属合金^[3,4],改变Ni与Fe周围的化学环境,二者间的协同作用有利于催化剂催化活性的提高。Lei等^[5]在镍基催化剂中引入Fe组分,通过调变Ni/Fe物质的量比($n_{\text{Ni}}/n_{\text{Fe}}$)有效地提高了甲酚加氢制备甲苯的选择性,且双金属Ni-Fe催化剂表现出了优于单质Ni金属催化剂的稳定性。Yan等^[6]发现,Fe助剂能促进Ni物种的分散,提高催化剂的稳定性,且贫电子的金属Fe与富电子的金属Ni之间存在电子转移,这种相互作用有利于加氢反应的进行。Fang等^[7]在研究喹啉加氢和二苯并噻吩加氢反应催化剂时发现,在镍基催化剂中添加Fe能显著提升催化剂的催化活性,这是由于Fe和Ni间存在电子转移,使Ni的结合能减小而铁的结合能增大,二者产生了协同作用。在双金属Ni-Fe体系中,Fe能起到电子供体的作用,Ni能起到收集H₂并产生活性氢原子的作用,在镍铁间存在的连续电子传递能促使镍周围的电子密度增高,反应活性增强^[8-10]。另有研究报道^[11],将Fe组分引入镍基催化剂中,Fe容易与FeNi/C和FeCoNi/C催化剂中的Ni形成Ni-Fe合金物相,而文献^[12]也报道,Fe的引入能调控Ni在催化剂表面和体相间的迁移,当 $n_{\text{Ni}}/n_{\text{Fe}}$ 为3:1时,双金属Ni-Fe催化剂在CO₂催化加氢反应中表现出了优良的催化性能。

我们前期研究^[13]中,通过等体积浸渍的方法,将Fe掺杂到Ni/SiO₂催化剂中,发现Fe与Ni形成的双金属Ni-Fe合金,能够提高DNT的转化率和TDA的选择性。近期研究表明^[14],采用铁粉代替锌粉置换镍盐溶液中的Ni²⁺,然后用醋酸溶液活化制备的Ni-Fe催化剂,能在DNT液相加氢反应中表现出较好的催化活性。为了进一步研究确定Fe在Ni-Fe双金属催化剂体系中的作用,本工作重点考察了 $n_{\text{Ni}}/n_{\text{Fe}}$ 对催化剂的微观结构及其催化DNT加氢性能的影响。

1 实验部分

1.1 催化剂的制备

在氮气保护条件下,于250 mL三口烧瓶中依

次加入5.6 g Fe粉(125~149 μm,AR级,天津化学试剂三厂)和10 mL去离子水(GB50172-92,自制),并将其置于70 °C的水浴中。在搅拌条件下,加入2 mol·L⁻¹氯化镍溶液(NiCl₂·6H₂O,AR级,天津化学试剂三厂),置换反应7 h,之后用100 mL 3 mol·L⁻¹的醋酸溶液(冰乙酸,AR级,天津科密欧化学试剂有限公司)活化。活化反应结束后,将所得黑色物质用去离子水反复洗涤至pH≈7,然后用甲醇(AR级,天津市光复精细化工研究所)洗涤3次即得到不同制备条件下的Ni-Fe催化剂,并将其保存在甲醇中备用。

1.2 催化剂的表征

催化剂的X射线衍射(XRD)在采用日本Rigaku D/max 2500型X射线衍射仪上进行,Cu K α 射线(经K α_2 剥离处理, $\lambda=0.154\ 056\ \text{nm}$),扫描速度8°·min⁻¹,石墨单色器,靶电压和电流分别为40 kV和100 mA,步长0.01°,扫描范围5°~85°,闪烁计数器记录强度。

BET比表面积在贝士德3H-2000 PS2型静态容量法比表面积孔径分析仪上进行,测定前样品在250 °C和10⁴ kPa的条件下处理4 h,然后在-196 °C下对样品进行氮气吸附-脱附过程,在相对压力0.05~0.20之间,通过BET方程式计算出比表面积。

催化剂H₂程序升温脱附技术(H₂-TPD)实验在美国Micromeritics公司Autochem II 2920型全自动生成程序升温化学吸附仪上进行。将20 mg催化剂,置于U型石英反应管中。先用30 mL·min⁻¹的N₂吹扫,以10 °C·min⁻¹升至200 °C对样品进行预处理。然后以90 °C·min⁻¹降至40 °C,用10%H₂和90%Ar(V/V)的混合气以30 mL·min⁻¹的速度吸附20 min,然后切换为纯Ar,待基线稳定后,以10 °C·min⁻¹升温至600 °C后脱附,用TCD检测器检测H₂信号。

催化剂的XPS表征在英国VG Scientific公司ESCAL-ab 220i-XL型X射线光电子能谱仪进行分析,激发源采用Al K α (1 486.6 eV),功率约为300 W,由污染碳C1s峰(284.6 eV)作为内标校正,Ar⁺束流电压为0.5 kV,真空室的真空度1.33×10⁻¹⁰ Pa,分辨率0.2 eV。

催化剂样品中的Fe和Ni元素的含量采用VARIAN公司的AA240FS型号原子吸收分光光度仪进行测定。称取0.05 g催化剂样品并用浓硝酸溶解,然后稀释至一定浓度,用原子吸收分光光度仪进行分析。

催化剂的TEM表征在日本电子JEM-2100F场

发射透射电镜上进行, 加速电压 200 kV。将催化剂样品分散在乙醇溶液中, 并通过超声波分散 10 min, 将悬浮液滴在铜网格中的碳支撑膜上制样, 然后进行分析。

1.3 催化剂的评价

将 5.00 g DNT 和 100 mL 甲醇加入 250 mL 烧杯中, 于 60 ℃水浴溶解 30 min 后, 将其倒入反应釜中, 同时快速加入 0.50 g 催化剂, 并密封。在室温条件下, 先用 N₂(99.99%, 北京氮普北分气体工业有限公司)置换反应釜 3 次, 然后用 H₂(99.99%, 北京氮普北分气体工业有限公司)置换反应釜 3 次, 并以 H₂ 冲压至 2.0 MPa。以 10 °C·min⁻¹ 升温至 110 °C, 并在 500 r·min⁻¹ 搅拌条件下开始反应, 反应过程中通入 H₂ 以使压力维持在 2.0 MPa, 反应时间为 2 h。液相产物由 GC9160 型气相色谱分析仪分析其组成。使用 SE-30 毛细管色谱柱 (0.32 mm×0.33 μm×30 m), 氢火焰离子化检测器 (FID) 检测。载气 N₂ 流量 30 mL·min⁻¹, H₂ 流量 20 mL·min⁻¹, 空气流量 200 mL·min⁻¹, 柱温 100 °C, 进样器温度 230 °C, 检测器温度 200 °C, 进样量 1.0 μL, 进样分流比为 60:1。采用面积校正归一法计算产物含量, 校正因子采用外标物测定。

2 结果与讨论

2.1 $n_{\text{Ni}}/n_{\text{Fe}}$ 对 Ni-Fe 催化剂及其催化性能的影响

2.1.1 Ni-Fe 催化剂的物相组成

图 1 为不同 $n_{\text{Ni}}/n_{\text{Fe}}$ 制备的 Ni-Fe 催化剂的 XRD 图。对照 Ni(PDF No.65-2865)、Fe(PDF No.65-4899) 的 XRD 标准图发现, 图中出现了 $2\theta=44.5^\circ, 51.8^\circ, 76.4^\circ$ 的金属 Ni 或 Ni-Fe 合金的特征衍射峰, 而 $2\theta=44.7^\circ, 65.0^\circ, 82.3^\circ$ 的单质金属 Fe 的特征衍射峰没有出现。在 Fe 置换 Ni²⁺过程中, 金属 Fe 容易取代 Ni 晶格中的 Ni 原子, 形成 Ni-Fe 合金, 其特征衍射峰与 Ni 基本重合^[15-16], 但由于 Fe 的原子半径较大, 使

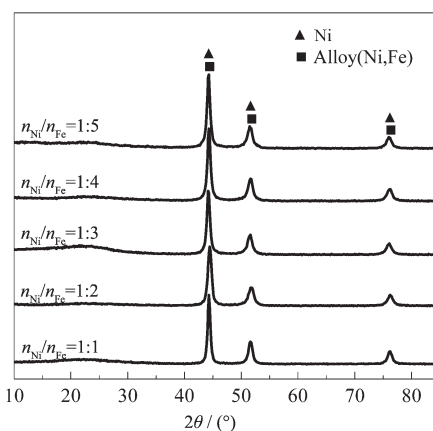


图 1 不同 $n_{\text{Ni}}/n_{\text{Fe}}$ 的 Ni-Fe 催化剂的 XRD 图

Fig.1 XRD patterns of Ni-Fe catalysts with different $n_{\text{Ni}}/n_{\text{Fe}}$

生成的 Ni-Fe 合金的特征衍射峰较单质金属 Ni 的衍射峰向小角度发生了偏移^[17-18], 详见表 1。

通过 Jade 软件对各催化剂 XRD 图中 $2\theta=44^\circ$ 的单质金属 Ni 和 Ni-Fe 合金衍射峰拟合后的半峰宽进行数据采集, 并通过 Scherrer 公式计算了催化剂的晶粒尺寸, 见表 1。从表中可以看出, 当 $n_{\text{Ni}}/n_{\text{Fe}}$ 为 1:1 和 1:2 时, Ni-Fe 催化剂晶粒尺寸分别达到最大和最小, 二者相差 4.4 nm; 而 $n_{\text{Ni}}/n_{\text{Fe}}$ 为 1:3~1:5 时, Ni-Fe 催化剂晶粒尺寸相近, 表明不同的 $n_{\text{Ni}}/n_{\text{Fe}}$ 对 Ni-Fe 催化剂晶粒尺寸存在影响, 但调控的粒径范围较小。

2.1.2 Ni-Fe 催化剂的比表面

不同 $n_{\text{Ni}}/n_{\text{Fe}}$ 制备的 Ni-Fe 催化剂的 BET 比表面积结果见表 2。从表中可以看出, 所制备的 Ni-Fe 催化剂的比表面积均较小。 $n_{\text{Ni}}/n_{\text{Fe}}$ 为 1:1 时, Ni-Fe 催化剂的比表面积仅为 $2 \text{ m}^2 \cdot \text{g}^{-1}$; 而当 $n_{\text{Ni}}/n_{\text{Fe}}$ 为 1:4 时, Ni-Fe 催化剂的比表面积达到 $8 \text{ m}^2 \cdot \text{g}^{-1}$; 继续减小 $n_{\text{Ni}}/n_{\text{Fe}}$, 催化剂比表面积明显下降, 为 $4 \text{ m}^2 \cdot \text{g}^{-1}$ 。可见, Ni-Fe 催化剂制备过程中, $n_{\text{Ni}}/n_{\text{Fe}}$ 对催化剂表面结构存在较大影响。在醋酸溶液活化过程中, 未反应及被氧化的 Fe 物种被脱除以暴漏出更多镍铁合金和金

表 1 不同 $n_{\text{Ni}}/n_{\text{Fe}}$ 的 Ni-Fe 催化剂的 XRD 图分析

Table 1 XRD analysis of Ni-Fe catalysts with different $n_{\text{Ni}}/n_{\text{Fe}}$ ratios

$n_{\text{Ni}}/n_{\text{Fe}}$	$2\theta / (^\circ)$			FWHM / (°)			Crystal size / nm
1:1	44.3	51.7	76.4	0.5	0.8	0.8	16.1
1:2	44.4	51.7	76.1	0.7	1.1	1.0	11.7
1:3	44.2	51.6	76.0	0.6	1.0	1.0	14.2
1:4	44.3	51.7	76.1	0.6	1.0	1.0	13.3
1:5	44.2	51.6	76.0	0.6	1.0	1.0	13.8

表2 不同 $n_{\text{Ni}}/n_{\text{Fe}}$ 的Ni-Fe催化剂的BET比表面积
Table 2 BET surface area of Ni-Fe catalysts with different $n_{\text{Ni}}/n_{\text{Fe}}$

$n_{\text{Ni}}/n_{\text{Fe}}$	Specific surface area / ($\text{m}^2 \cdot \text{g}^{-1}$)
1:1	2
1:2	4
1:3	3
1:4	8
1:5	4

属镍的活性位点^[19-20],随着 $n_{\text{Ni}}/n_{\text{Fe}}$ 的减小及醋酸的活化作用,这部分Fe以离子形式脱除,而以Ni-Fe合金形式存在的Fe较难脱除^[14],使得Ni-Fe催化剂比表面积较小且差别较大。

2.1.3 Ni-Fe催化剂的表面分散度

由催化剂的H₂-TPD图(图2)可以看出,不同 $n_{\text{Ni}}/n_{\text{Fe}}$ 下制备的Ni-Fe催化剂均出现了多个氢脱附峰,可见催化剂存在多种氢吸附中心,其中70 °C左右出现的脱附峰(Peak 1)对应于物理吸附氢的脱附峰,200~400 °C范围内的脱附峰归属于化学吸附氢的脱附峰。低温化学脱附峰(Peak 2)归属于催化剂中单质镍活性中心吸附氢的脱附峰,高温化学脱附峰(Peak 3)归属于Ni-Fe合金活性中心吸附氢的脱附峰^[21]。

由于Ni-Fe催化剂的化学氢脱附峰均存在不同程度的重叠,故通过高斯拟合对催化剂的化学氢脱附峰进行了分峰处理,并通过化学氢吸附量计算了各催化剂活性物种Ni的分散度,其数据结果见表3。可以看出,随 $n_{\text{Ni}}/n_{\text{Fe}}$ 的减小,制备得到的Ni-Fe催化剂化学氢吸附量并非呈线性变化: $n_{\text{Ni}}/n_{\text{Fe}}$ 从1:1变为1:2时,化学吸附氢量减小,而从1:2到1:5的变化过程中,催化剂化学吸附氢量先增加后减少。 $n_{\text{Ni}}/n_{\text{Fe}}$ 为1:4制备的催化剂化学吸附氢量达到最大值(0.16 mmol·g⁻¹),且活性物种Ni的分散度达到了23%,表明催化剂中含有较多的Ni活性中心数和较

大的Ni活性物种分散度。从表中脱附峰温可以看出, $n_{\text{Ni}}/n_{\text{Fe}}$ 为1:4制备的Ni-Fe催化剂氢脱附温度高于其他 $n_{\text{Ni}}/n_{\text{Fe}}$ 下制备的催化剂,特别是其高温化学吸附氢的脱附峰温度,表明此时Ni-Fe合金活性中心对氢的吸附作用更强,催化剂中Fe对Ni产生的相互作用更大。另外, $n_{\text{Ni}}/n_{\text{Fe}}$ 为1:4制备的Ni-Fe催化剂含有相对较多的低温脱附氢,表明催化剂中在较低温度下的活性位点相对较多,有利于催化剂催化活性的提高。同时,相对于高温脱附氢而言,低温脱

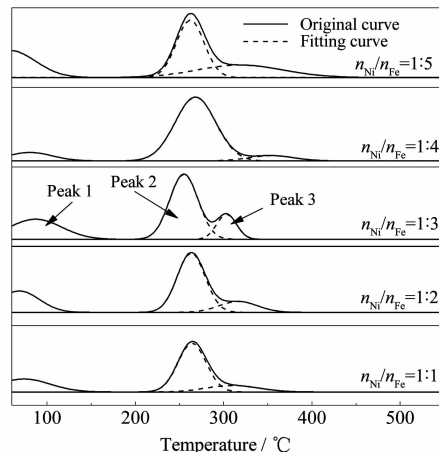


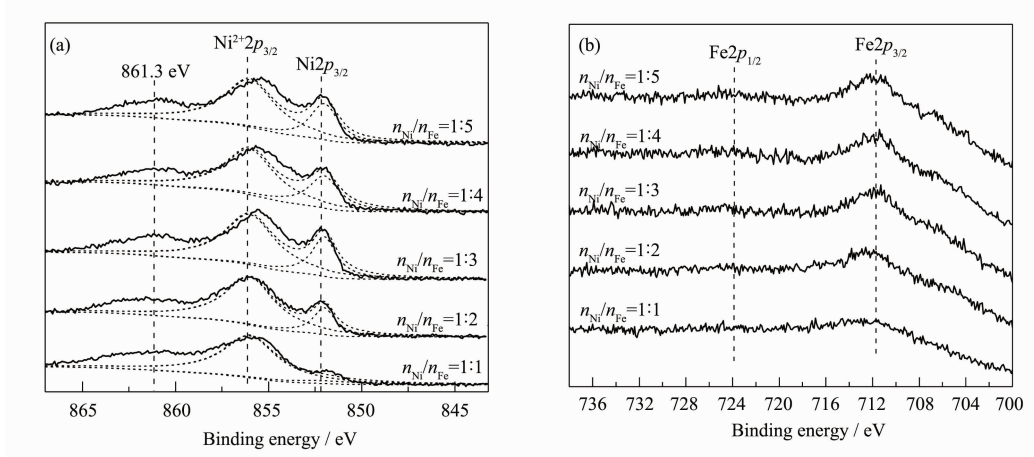
图2 不同 $n_{\text{Ni}}/n_{\text{Fe}}$ 的Ni-Fe催化剂的H₂-TPD图

Fig.2 H₂-TPD profiles of Ni-Fe catalysts with different $n_{\text{Ni}}/n_{\text{Fe}}$

表3 不同 $n_{\text{Ni}}/n_{\text{Fe}}$ 的催化剂的H₂-TPD分析结果

Table 3 H₂-TPD analysis of Ni-Fe catalysts with different $n_{\text{Ni}}/n_{\text{Fe}}$ ratios

$n_{\text{Ni}}/n_{\text{Fe}}$	Chemical adsorption / ($\text{mmol} \cdot \text{g}^{-1}$)	Dispersion degree of Ni / %	Desorption temperature / °C		Relative content / %	
			Peak 2	Peak 3	Peak 2	Peak 3
1:1	0.06	10	264	310	80	20
1:2	0.03	5	263	316	80	20
1:3	0.03	5	255	303	79	21
1:4	0.16	23	268	354	92	8
1:5	0.02	3	262	319	60	40

图 3 不同 $n_{\text{Ni}}/n_{\text{Fe}}$ 的 Ni-Fe 催化剂的 XPS 谱图Fig.3 XPS spectra of Ni-Fe catalysts with different $n_{\text{Ni}}/n_{\text{Fe}}$

附氢更加活泼,更易在催化剂表面流动并参与反应^[22-24],是 DNT 加氢制备 TDA 过程中硝基加氢转化为氨基的主要活性氢来源。

2.1.4 Ni-Fe 催化剂的表面组成

图 3 为在空气中放置 10 h 后不同 $n_{\text{Ni}}/n_{\text{Fe}}$ 的 Ni-Fe 催化剂的 XPS 谱图。从图(a)可以看出,经空气中氧化后 Ni-Fe 催化剂表面存在大量的 Ni^{2+} ,其他则以 Ni^0 形式存在。其中,结合能为 861.3 eV 的峰归属于 Ni^{2+} 的特征峰伴峰^[15,25]。通过对结合能为 856.1 和 852.0 eV 的 $\text{Ni}^{2+}2p_{3/2}$ 和 $\text{Ni}2p_{3/2}$ 的特征峰分峰拟合,计算了不同 $n_{\text{Ni}}/n_{\text{Fe}}$ 下 Ni-Fe 催化剂的氧化程度,见表 4。从表 4 可以看出,随着 $n_{\text{Ni}}/n_{\text{Fe}}$ 由 1:1 到 1:4 减小,Ni 的氧化程度减弱,在 $n_{\text{Ni}}/n_{\text{Fe}}$ 为 1:4 时氧化程度最小,为 70%。继续减小 $n_{\text{Ni}}/n_{\text{Fe}}$, Ni^0 的氧化程度略有增高,为 73%。可见,Fe 的存在能减缓 Ni 的氧化^[26],且

在 $n_{\text{Ni}}/n_{\text{Fe}}$ 为 1:4 时,这种效果最显著。图(b)中各催化剂的 $\text{Fe}2p$ XPS 谱图基本相似,结合能在 700~720 eV 和 719~725 eV 分别归属于 $\text{Fe}2p_{3/2}$ 和 $\text{Fe}2p_{1/2}$ 的特征峰^[7,9]。经 XPS 及 AAS 表征,我们对 Ni-Fe 催化剂表面和整体实际的 $n_{\text{Ni}}/n_{\text{Fe}}$ 进行了分析,见表 4。从表中可以看出,各 Ni-Fe 催化剂整体的 $n_{\text{Ni}}/n_{\text{Fe}}$ (分布在 9~16) 明显高于表面的 $n_{\text{Ni}}/n_{\text{Fe}}$ 值(分布在 3~6),说明 Ni-Fe 催化剂中合金相主要分布在催化剂的表面,且催化剂表面的 $n_{\text{Ni}}/n_{\text{Fe}}$ 值与文献^[12]报道的能够形成 Ni-Fe 合金的 $n_{\text{Ni}}/n_{\text{Fe}}$ 值相近。而随着制备过程中 $n_{\text{Ni}}/n_{\text{Fe}}$ 的减小,Ni-Fe 催化剂表面的 $n_{\text{Ni}}/n_{\text{Fe}}$ 呈下降趋势。当 $n_{\text{Ni}}/n_{\text{Fe}}$ 为 1:4 时,制得的 Ni-Fe 催化剂表面 $n_{\text{Ni}}/n_{\text{Fe}}$ 达到最小(3.6),说明此时催化剂表面以合金态存在的 Fe 相对较多。

图 4 为经 Ar^+ 刻蚀 2 min 后的 $n_{\text{Ni}}/n_{\text{Fe}}$ 为 1:4 的催

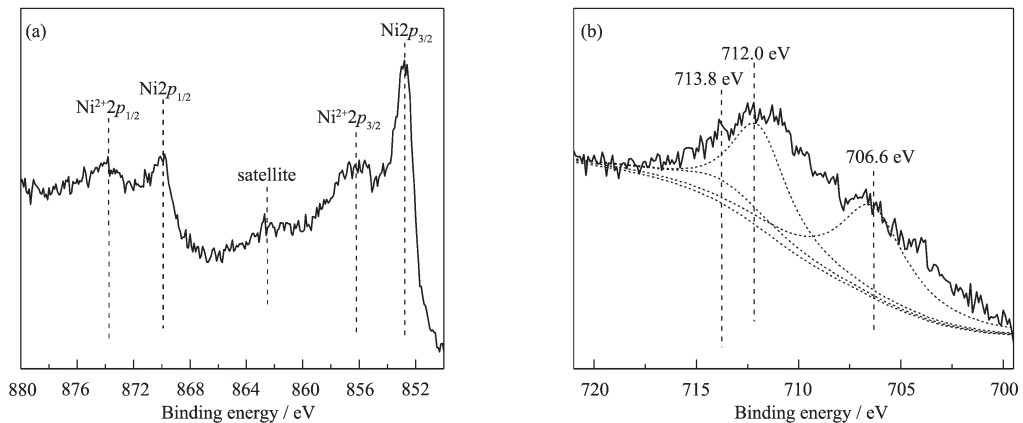
图 4 经 Ar^+ 刻蚀 2 min 后 $n_{\text{Ni}}/n_{\text{Fe}}$ 为 1:4 的 Ni-Fe 催化剂的 XPS 谱图Fig.4 XPS spectra of Ni-Fe catalysts with $n_{\text{Ni}}/n_{\text{Fe}}$ of 1:4 sputtered by Ar^+ for 2 min

表4 不同 $n_{\text{Ni}}/n_{\text{Fe}}$ 的催化剂的XPS数据分析Table 4 XPS analysis for Ni-Fe catalysts with different $n_{\text{Ni}}/n_{\text{Fe}}$

$n_{\text{Ni}}/n_{\text{Fe}}$	Ni composition / %		Degree of oxidation / %	$n_{\text{Ni}}/n_{\text{Fe}}$ on the catalysts surface ^a	$n_{\text{Ni}}/n_{\text{Fe}}$ of Ni/Fe catalysts ^b
	Ni ⁰	Ni ²⁺			
1:1	9.1	90.9	91	5.9	16.0
1:2	20.0	80.0	80	5.6	10.7
1:3	27.4	72.6	73	4.7	11.1
1:4	30.2	69.8	70	3.6	9.6
1:5	27.9	72.1	72	4.4	9.5

^a Data based on XPS analyses^b Data based on AAS analyses

化剂的XPS谱图。由图(c)可以看出, $\text{Ni}2p_{1/2}$ (869.6 eV)和 $\text{Ni}2p_{3/2}$ (852.6 eV)的结合能比文献报道的标准结合能(分别为870.0 eV和853.0 eV)^[24]减少了0.4 eV, 说明Ni-Fe催化剂中Ni元素和Fe元素间存在电子转移, 且Ni呈富电子状态, 这有利于活性氢原子的生成及催化剂反应活性的提高^[9]。之后, 通过对 $\text{Fe}2p$ XPS谱图分峰拟合, 对Fe元素的化学状态进行了分析, 见图(d)。在图(d)中, 结合能为704.2 eV和712.0 eV分别归属为 Fe^0 和 Fe^{2+} 的特征峰^[9], 结合能为713.8 eV归属为 Fe^{3+} 的特征峰^[7], 可见Fe元素在Ni-Fe催化剂中以多种化学状态存在的。

2.1. Ni-Fe催化剂的形貌

为了较直观的观察Ni-Fe催化剂的形貌结构及粒子的大小, 我们对Ni-Fe催化剂进行了TEM表征。图5为 $n_{\text{Ni}}/n_{\text{Fe}}$ 为1:4制备的Ni-Fe催化剂的TEM图。从图中可以看出, 制备得到的Ni-Fe催化剂呈链条形状, 与文献^[9,25,28]报道的Ni-Fe催化剂形态类似; 且Ni-Fe催化剂发生了较为严重的团聚, 这是因为催化剂中含有的Ni与Fe具有一定的磁性, 颗粒间的磁力作用以及电子相互作用^[8-9]使得制得的Ni-Fe

催化剂产生了团聚现象。通过选区用统计的方法估算了催化剂粒子尺寸, 由粒径分布图可以看出, Ni-Fe催化剂中粒径较小的粒子(S)主要分布在15~24 nm, 平均粒径为19 nm, 而较大的粒子(L)粒径分布在25~50 nm, 平均粒径37 nm, 所制备的Ni-Fe催化剂具有纳米结构。

2.1.6 Ni-Fe催化剂的催化性能

图6为不同 $n_{\text{Ni}}/n_{\text{Fe}}$ 下Ni-Fe催化剂催化DNT加氢性能评价结果图。从图中可以看出, 随着 $n_{\text{Ni}}/n_{\text{Fe}}$ 的减小, DNT转化率和TDA选择性均呈现先升高后降低的趋势。当 $n_{\text{Ni}}/n_{\text{Fe}}$ 由1:1减小到1:4时, DNT转化率和TDA选择性分别由原来的28%和13%提高到98%和86%, 达到最大。当 $n_{\text{Ni}}/n_{\text{Fe}}$ 继续减小到1:5时, DNT的转化率和TDA的选择性分别下降为76%和57%。结合H₂-TPD和XPS结果可知, Fe与Ni之间存在电子转移, 并且Fe能促使更多催化活性中心的形成, 在 $n_{\text{Ni}}/n_{\text{Fe}}$ 为1:4时, 催化剂稳定性提高, 且活性中心数特别是低温Ni活性中心数增多, Ni-Fe催化剂催化活性得到了较大提升。

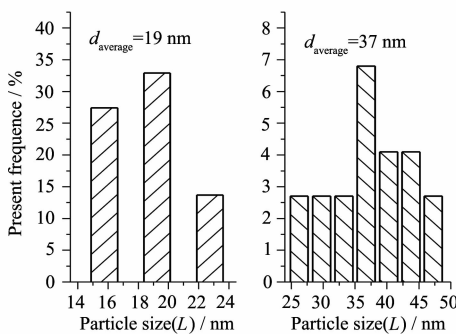
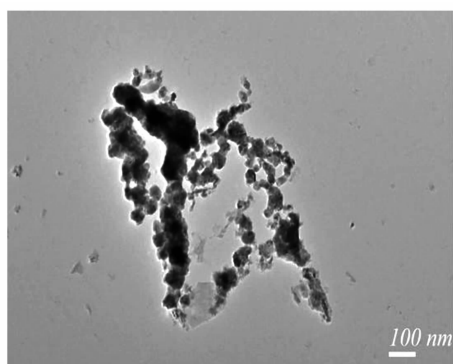


图5 $n_{\text{Ni}}/n_{\text{Fe}}$ 为1:4的催化剂的TEM图
Fig.5 TEM images of Ni-Fe catalyst with $n_{\text{Ni}}/n_{\text{Fe}}$ of 1:4

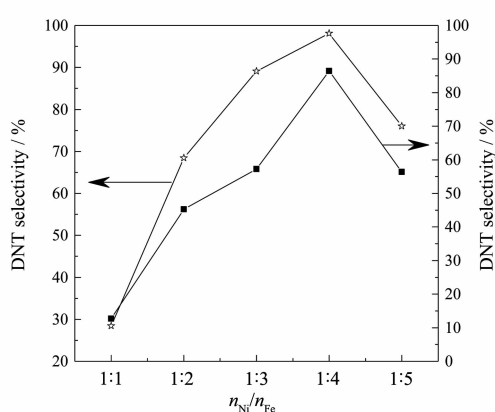
图 6 不同 $n_{\text{Ni}}/n_{\text{Fe}}$ 的 Ni-Fe 催化剂的活性评价

Fig.6 Catalytic performance of Ni-Fe catalyst with different $n_{\text{Ni}}/n_{\text{Fe}}$

2.2 Ni-Fe 催化剂制备条件的优化

2.2.1 反应温度和反应时间的优化

不同反应温度及反应时间的 Ni-Fe 催化剂催化

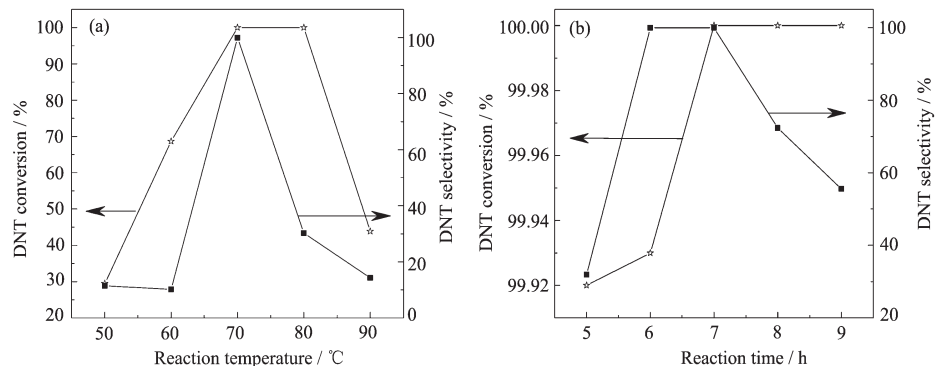


图 7 反应温度和反应时间对 Ni-Fe 催化剂催化性能的影响

Fig.7 Influence of reaction temperature (a) and reaction time (b) on catalytic performance of Ni-Fe catalysts

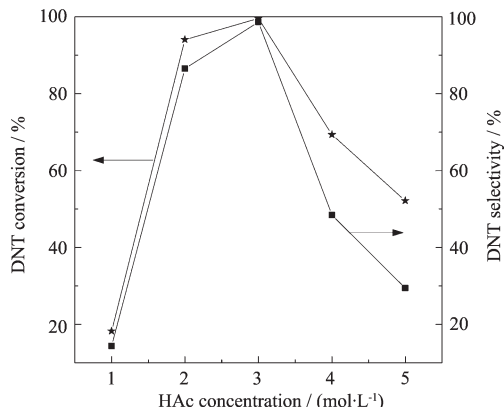


图 8 醋酸浓度对 Ni-Fe 催化剂催化性能的影响

Fig.8 Influence of HAc concentration on catalytic Performance of Ni-Fe catalysts

DNT 加氢性能见图 7 中(a)和(b)。从图(a)可以看出，在整个反应区间，DNT 的转化率和 TDA 的选择性都呈现先升高后降低的趋势。当置换反应温度为 50°C 时，所制备催化剂催化 DNT 的转化率为 29%，TDA 的选择性为 12%。随着反应温度(50~70 °C)的提高，DNT 的转化率和 TDA 的选择性均有较大幅度的提升，催化剂的催化性能增强。当反应温度为 70°C 时，DNT 的转化率达到了 98%，TDA 的选择性达到了 99%，达到最大。当反应温度(70~90 °C)继续升高时，DNT 的转化率略有降低，TDA 的选择性则出现较大的降幅。从图(b)可以看出，当置换反应时间为 5 h 时，DNT 的转化率就达到了~100%，而 TDA 的选择性仅为 32%；延长反应时间，TDA 的选择性有了较大的提高，当反应时间为 7 h 时，TDA 的选择性达到了~100%；继续增加反应时间(7~9 h)，DNT 的转化率趋于稳定，而 TDA 的选择性呈现下降的趋势。

2.2.2 醋酸活化浓度的优化

图 8 为不同醋酸浓度制备的 Ni-Fe 催化剂催化性能的评价结果。

从图 8 中可以看出，随着醋酸浓度的增大，DNT 的转化率和 TDA 的选择性都呈现先升高后降低的趋势。醋酸浓度为 1 mol·L⁻¹ 时，制备的 Ni-Fe 催化剂催化 DNT 的转化率为 18%，TDA 的选择性为 14%。当醋酸浓度为 3 mol·L⁻¹ 时，DNT 的转化率和 TDA 的选择性分别达到了~100% 和 99%，继续升高醋酸浓度，DNT 的转化率和 TDA 的选择性都呈现下降趋势。

2.3 Ni-Fe 催化剂的稳定性

图 9 为新鲜及反应 1 次、3 次和 5 次后的 Ni-Fe

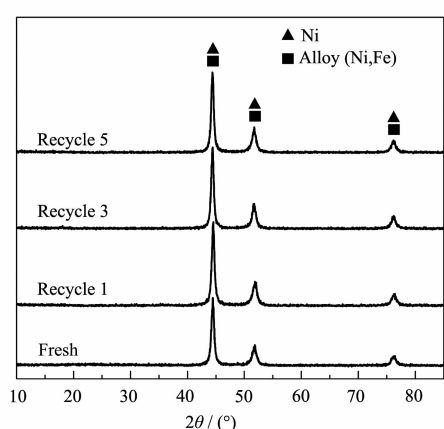


图 9 新鲜及反应不同次数的 Ni-Fe 催化剂的 XRD 图

Fig.9 XRD patterns of Ni-Fe catalysts with different recycle times

催化剂的 XRD 图。由图中可以看出,循环反应 5 次后,Ni-Fe 催化剂的物相组成并没有发生变化。通过 Jade 软件采集各催化剂 $2\theta=44^\circ$ 附近的半峰宽,并用 Scherrer 公式计算了催化剂的晶粒尺寸,见表 5。由表 5 可以看出,随着反应次数的增加,Ni-Fe 催化剂晶粒尺寸有增大的趋势,这可能是由于反应过程中催化剂发生团聚引起的。其中,循环反应 5 次后,Ni-Fe 催化剂晶粒尺寸由最初的 15.7 nm 增大为 17.5 nm。

Ni-Fe 催化剂稳定性实验结果见表 6。从表中可以看出,Ni-Fe 催化剂在不补加的情况下循环使用 5 次,其 DNT 转化率均在 99% 以上,TDA 的选择性均在 98% 以上,表明了制备的 Ni-Fe 催化剂具有良好的催化活性和稳定性。

表 5 新鲜及反应不同次数的 Ni-Fe 催化剂的 XRD 图分析
Table 5 XRD analysis of Ni-Fe catalysts with different recycle times

Recycle	$2\theta / ^\circ$			FWHM / $^\circ$			Crystal size / nm
0	44.4	51.7	76.1	0.5	0.9	0.9	15.7
1	44.5	51.8	76.2	0.5	0.8	0.9	16.6
3	44.4	51.7	76.1	0.5	0.8	0.8	17.1
5	44.4	51.7	76.1	0.5	0.8	0.8	17.5

表 6 Ni-Fe 催化剂的加氢稳定性
Table 6 Stability of Ni-Fe catalyst for catalytic hydrogenation

Recycle	Conversion of DNT / %	Selectivity for TDA / %
1	100	99
2	100	99
3	100	99
4	99	98
5	99	98

2.4 Ni-Fe 催化剂与 Ni-Zn 漆原镍催化剂加氢反应过程

图 10 为以锌粉作为还原剂制备的 Ni-Zn 漆原镍催化剂^[29]和本工作以铁粉作为还原剂制备的 Ni-Fe 催化剂催化 DNT 加氢中间产物随加氢反应时间的变化关系。从图中可以看出,Ni-Zn 漆原镍和 Ni-Fe 催化剂催化加氢过程中均有相同的中间物相生成。由图 10(a)可以看出,Ni-Zn 漆原镍催化剂催化 DNT 加氢的 0~40 min 内,2,4-DNT 含量由 80% 下降为 13%,2,6-DNT 含量由 20% 下降为 5%,加氢 40 min 时中间物的含量达到最大。加氢时间 80~120 min 内,产品 TDA 的含量变化较小,反应 120

min 时 TDA 含量为 94%。

从图 10(b)可以看出,Ni-Fe 催化剂催化 DNT 加氢 60 min 时中间物的含量才达到最大,此时 2,4-DNT 含量由 80% 下降为 15%,2,6-DNT 含量由 20% 下降为 6%,产品 TDA 含量仅为 20%。随着加氢时间的延长,中间物转化为产品 TDA 的速率逐渐增大,产品 TDA 含量呈现线性增长。加氢时间为 120 min 时,产品 TDA 的含量达到了~100%。可见,Ni-Zn 漆原镍催化剂能够较快的催化 DNT 转化为中间物,但中间物转化为产品 TDA 的速率较慢,而 Ni-Fe 催化剂催化 DNT 转化为中间物的速率较慢,由中间物转化为产品 TDA 的速率较快。

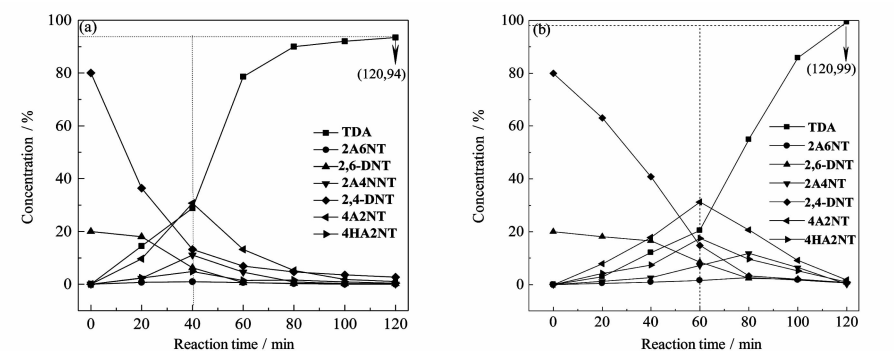


图 10 Ni-Zn 漆原镍催化剂和 Ni-Fe 催化剂的加氢反应进程

Fig.10 DNT hydrogenation process diagram over Ni-Zn Urushibara nickel catalysts (a) and Ni-Fe catalysts (b)

3 结 论

Ni-Fe 双金属催化剂中 Fe 的存在能改变 Ni 的还原性,促进低温 Ni 活性中心的形成;能促进活性组分 Ni 的稳定性,对 Ni 的氧化起到一定的抑制作用;与 Ni 之间存在电子转移,促使 Ni 呈富电子状态,增强催化剂催化活性。在 $n_{\text{Ni}}/n_{\text{Fe}}$ 为 1:4 时,制备得到的 Ni-Fe 催化剂表现出了良好的催化活性和稳定性。另外,与 Ni-Zn 漆原镍催化剂催化 DNT 加氢过程相比,Ni-Fe 催化剂催化 DNT 加氢反应途径相同,且在催化 DNT 中间产物转化为产品 TDA 的过程中催化效率更高。

参考文献:

- [1] YAN Shao-Wei(闫少伟), FAN Hui(范辉), LIANG Chuan(梁川), et al. *Chem. J. Chinese Universities*(高等学校化学学报), **2012**,**33**(9):2067-2073
- [2] YAN Shao-Wei(闫少伟), FAN Hui(范辉), LIANG Chuan(梁川), et al. *Chinese J. Catal.*(催化学报), **2012**,**33**(8):1374-1382
- [3] Surapas S, Wei A, Daniel E R. *J. Catal.*, **2011**,**284**:90-101
- [4] Wang L, Li D L, Koike M, et al. *Appl. Catal. A: Gen.*, **2011**,**392**:248-255
- [5] Lei N, Priscilla M de Souza, Fabio B N, et al. *J. Mol. Catal. A: Chem.*, **2014**,**388**-389:47-55
- [6] Yan X H, Sun J Q, Wang Y W, et al. *J. Mol. Catal. A: Chem.*, **2006**,**252**(1/2):17-22
- [7] Fang M X, Tang W, Yu C J, et al. *Fuel Process. Technol.*, **2015**,**129**:236-244
- [8] Lin C H, Shih Y H, MacFarlane J. *Chem. Eng. J.*, **2015**,**262**:59-67
- [9] Alokd B, Rajeevc C, Chandrashekharv V R, et al. *Environ. Sci. Technol.*, **2007**,**41**:7437-7443
- [10] Han Y, Li W, Zhang M H, et al. *Chemosphere*, **2008**,**72**:53-58
- [11] Oliveira V L, Morais C, Servat K, et al. *Electrochim. Acta*, **2014**,**117**:255-262
- [12] Tian D Y, Liu Z H, Li D D, et al. *Fuel*, **2013**,**104**:224-229
- [13] YU Zhi-Hui(于智慧), YAN Ze(闫泽), FAN Hui(范辉), et al. *Chinese J. Inorg. Chem.*(无机化学学报), **2014**,**30**(6):1317-1324
- [14] YU Zhi-Hui(于智慧), YAN Ze(闫泽), FAN Hui(范辉), et al. *Chem. J. Chinese Universities*(高等学校化学学报), **2014**,**35**(10):2227-2233
- [15] Fang Z Q, Qiu X H, Chen J H, et al. *J. Hazard. Mater.*, **2011**,**185**:958-969
- [16] Kustov A L, Frey A M, Larsen K E, et al. *Appl. Catal. A: Gen.*, **2007**,**320**:98-104
- [17] Adabavazeh Z, Karimzadeh F, Enayati M H. *Adv. Powder Technol.*, **2012**,**23**(3): 284-289
- [18] Pandey D, Deo G. *J. Mol. Catal. A: Chem.*, **2014**,**382**:23-30
- [19] Zhang Z, Cissoko N, Wo J J, et al. *J. Hazard. Mater.*, **2009**,**165**(13):78-86
- [20] Jacob I, Fisher M, Hadari Z, Herskowitz M, et al. *J. Catal.*, **1986**,**101**(1):28-34
- [21] Benrabaa R, Lfberg A, Rubbens A, et al. *Catal. Today*, **2013**,**203**:188-195
- [22] Zhang W H, Quan X, Wang J X, et al. *Chemosphere*, **2006**,**65**:58-64
- [23] SHI Qiu-Jie(石秋杰), LEI Jing-Xin(雷经新), ZHANG Ning(张宁). *Acta Phys.-Chim. Sin.*(物理化学学报), **2007**,**23**:98-102
- [24] Wu Z J, Zhang M H, Zhao Z F, et al. *J. Catal.*, **2008**,**256**:323-330

- [25]Han Y L, Yan W L. *Water Res.*, **2014**,**66**:149-159
 [26]Schrick B, Blough J L, Jones A D, et al. *Chem. Mater.*, **2002**,**14**(12):5140-5147
 [27]WANG Wei-Yan(王威燕), YANG Yun-Quan(杨运泉), LUO He-An(罗和安), et al. *Chinese J. Catal.*(催化学报), **2011**,**32**(10):1645-1650
 [28]Wei J J, Qian Y J, Liu W J, et al. *J. Environ. Sci.*, **2014**,**26**:1162-1170
 [29]LIU Hao(刘皓), LI Ruo-Yu(李若愚), ZHANG Meng(张蒙), et al. *Chinese J. Catal.*(催化学报), **2009**,**30**(7):606-612